

دراسة العوامل الجوية المؤدية إلى نشاط الكتبان الرملي حول بحيرات ناصر وتوشكى



د. صابرین محمد شبارہ

خبير باختصار ومستشار الفيدرالية لجامعة بادراه بجامعة
الطبقة العليا بالإنجليزية للبحث العلمي

تمهيد:

الكتبان الرملي تمثل عائق حقيقي لأى استفاده من أى مشروع تنموى سواء زراعى أو صناعى أو منشآت تعميرية سياحية أو سكنية، أيضاً مشروعات تمهيد الطرق والسكك الحديدية، كما لم تسلم أيضاً بعض المشروعات المائية العملاقة من تحدي الكتبان الرملي لها، كما يمنطقة بحيرتى ناصر وتوشكى وتقع بحيرة ناصر جنوب نهر النيل مابين أسوان شمالاً «وابى سمبل جنوباً» وترتبط غرباً ببحيرة توشكى عن طريق ممر مائى لتحويل المياه الزائدة من بحيرة ناصر إلى توشكى، وتتعرض البحيرات لهجوم الكتبان الرملي على الجانب الغربى لبحيرة ناصر والشمالي والشمالي الغربى لبحيرة توشكى، مما يسبب العديد من السلبيات نتيجة لذلك ومنها على سبيل المثال لا الحصر إرتفاع قاع البحيرات الذى يؤثر بشكل أو باخر على هيدروليكية النهر المغذي للبحيرات، أيضاً انخفاض السعة المائية للبحيرات وزيادة المساحة المائية لها مما يؤدي إلى زيادة كميات المياه المفقودة بالتبخر، علاوة على أن قاع البحيرات يصبح بينه مناسبة لنمو بعض الكائنات المائية والطحالب التي تؤثر سلباً على جودة المياه والثروة السمكية بالبحيرات.



■ **المتجهة** vector Unit , VU ، ضروري لمعرفة مناطق وأوقات زيادة وقلة كميات الرمال لخدمة مشروعات الحماية

■ **مؤشر التغيرات الاتجاهي للرياح** ويرمز له DP/DP (wind Directional variability Index DP/DP) (-) ضروري لمعرفة مناطق وأوقات الخطورة من حيث نشاط الرمال موصوفاً بوجهانية الاتجاه الحركي أو الحركة المشتبه بعدة اتجاهات حركية، وذلك لخدمة مشروعات الحماية.

المحطات والبيانات المستخدمه للدراسة

تم استخدام بيانات الرياح «سرعه واتجاه» المناظره لظاهرتين الرمال المثارة والعواصف الرملية وهي ما تعرف بـ sandy wind velocity لخمس محطات تابعة للهيئة العامة للأرصاد الجوية المصرية خلال فترة (٢٠) عام مبينة بالجدول والخرائطه الآتية:

ومن المعروف أن دراسة سلوك حركة ونشاط الكثبان الرملية هو السبيل الوحيد لحل مشكلة تواجدها في مناطق تم التخطيط لها لإقامة مشروعات تنمية، وذلك عن طريق تجنب مسارات الحركة المتوقعة للكثبان الرملية ومعرفة أوقات ضعفها وقوتها، أو عن طريق إقامة مشروعات الحماية المناسبة بالمكان المناسب والتوقيت الصحيح والاتجاه السليم، وأهداف الدراسة هي تعين كل من:

■ **اتجاه الحركة شهرياً وموسمياً**

resultant drift direction (RDD $(^{\circ})$)

مقاسة بالدرجة من الشمال ومع عقارب الساعة ضروري لتوحيد العناصر المستخدمة لتنبيه الرمال في مشروعات الحماية بالاتجاه السليم ■ **كميات الرمال المتدافعه المتوقعة شهرياً وموسمياً** والمجمعة من جميع الاتجاهات حول موقع الدراسة Drift potential DP (VU)

وأيضاً المحصلة الهندسية لها

Resultant Drift potential RDP , VU ،

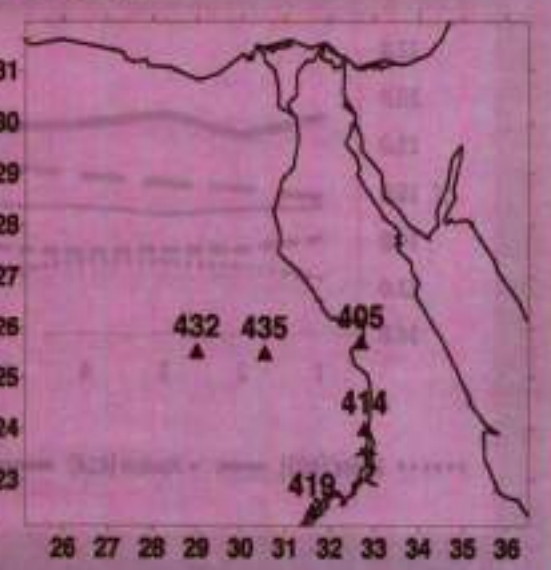
والتي تتناسب مع طاقة الرياح، وذلك بالوحدات

Table (1) : List of Meteorological Stations under Study.

Sectors	Station	Station No.	H (m)	Available Data
North East of Study Area	Luxor	405	10	(1983-2012)-30 years
North of Nasser Lake	Aswan	414	20	(1983-2012)-30 years
South of Nasser Lake	Abu-Simbel	419	9	(1983-2012)-30 years
North And North West of Tushka Lakes	Kharga	435	11.5	(1983-2012)-30 years
	Dakhla	432	14.4	(1983-2012)-30 years

H: Anemometer height above the ground level.

Map (1): Egyptian Meteorological Stations under Study.



حصلت على التصنيف الأكبر من التكرارات ٤٦,٦٪، المستوى ، كما ان الأقصر «شمال شرق منطقة الدراسة»، حصلت على التصنيف الأقل من التكرارات (٤,٨٪) ، كما تميز فصل الربيع خاصة في مارس وفصل الخريف خاصة بشهر نوفمبر بأعلى وأقل تكرارات شهرية ، مما يعني أن شهر نوفمبر بشكل عام هو الأنسب لإقامة مشروعات التثبيت بمنطقة الدراسة.

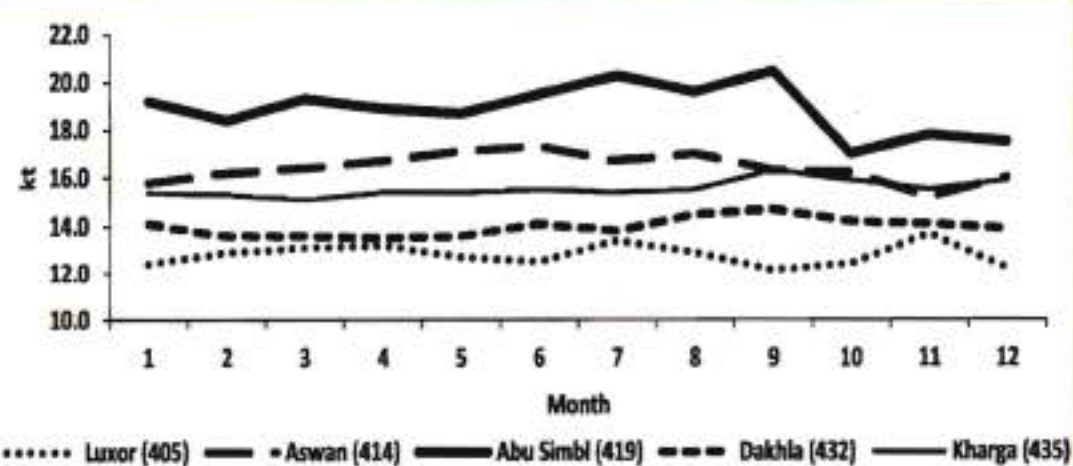
تحليل بيانات سرعة الرياح العاملة للرمال

ويتحلّل البيانات المستخدمة شهرياً، موسمياً، وجدنا أن أعلى سرعة للرياح العاملة للرمال بالعقدة مسجله طوال العام على محطة أبو سمبل جنوب بحيرة ناصر وأقل سرعة سجلت على محطة الأقصر شمال شرق منطقة الدراسة.

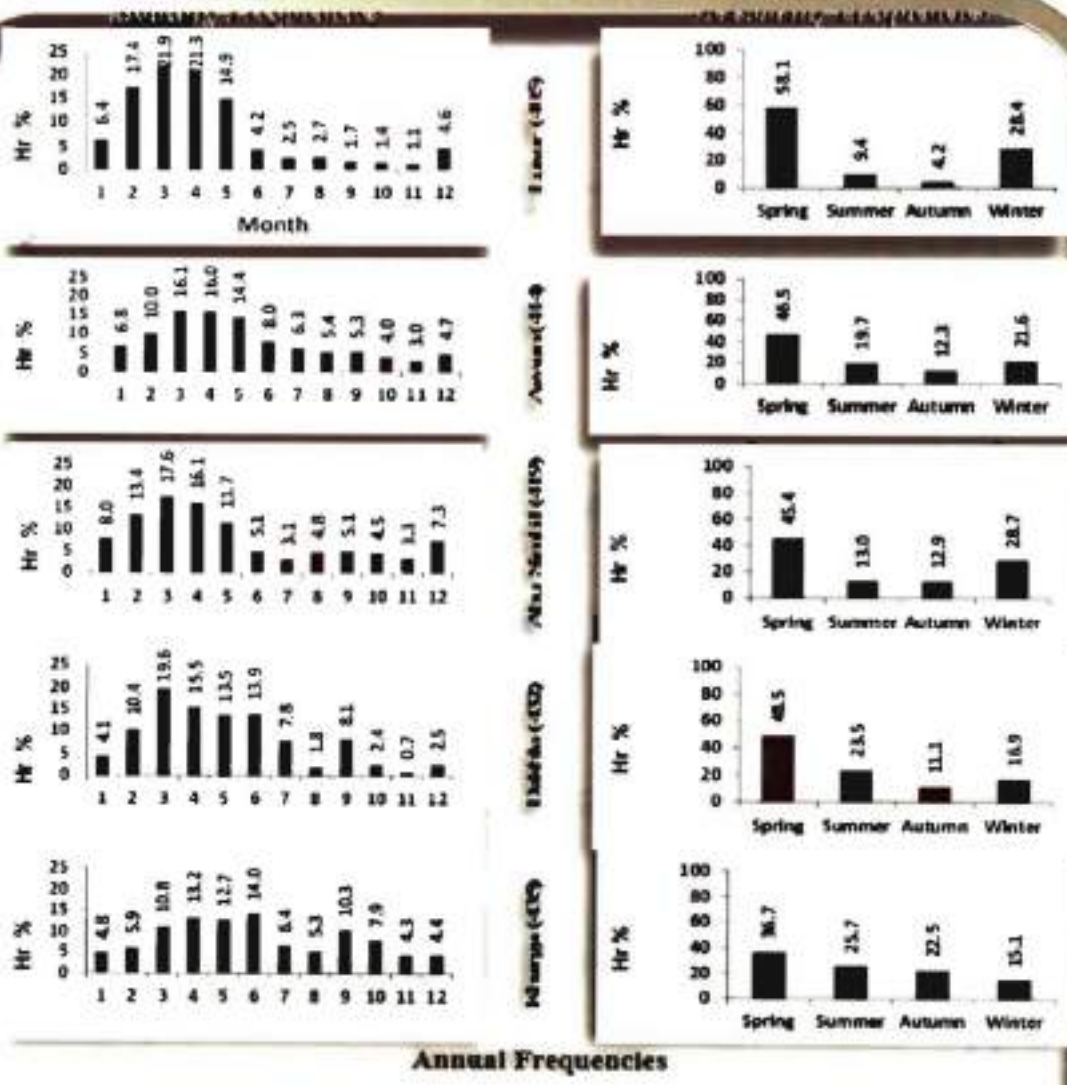
تحليل تكرار ظاهرة الرياح العاملة للرمال الرمال المتأوه والعواصف الرملية ..

وجدنا أن الخارج (شمال غرب منطقة الدراسة)

Stations	March	April	May	Spring	June	July	Aug.	Summer	Sep.	Oct.	Nov.	Autumn	Dec.	Jan.	Feb.	Winter	Annual
Luxor (405)	13.1	13.2	12.7	13.0	12.5	13.4	12.9	12.9	12.1	12.4	13.7	12.7	12.2	12.4	12.9	12.5	12.8
Aswan (414)	16.4	16.7	17.1	16.7	17.3	16.7	17.0	17.0	16.3	16.2	15.2	15.9	16.0	15.8	16.2	16.0	16.5
Abu Simbil (419)	19.3	18.9	18.7	19.0	19.5	20.3	19.6	19.8	20.5	17.0	17.8	18.4	17.5	19.2	18.4	18.4	18.9
Dakhla (432)	13.6	13.5	13.6	13.6	14.1	13.9	14.5	14.2	14.7	14.2	14.1	14.3	13.9	14.1	13.6	13.9	14.0
Kharga (435)	15.1	15.4	15.4	15.3	15.5	15.4	15.5	15.5	16.3	15.9	15.5	15.9	15.9	15.4	15.3	15.5	15.6



شكل (١) : تحليل سرعة الرياح العاملة للرمال على منطقة بحيرات توشكى وناصر

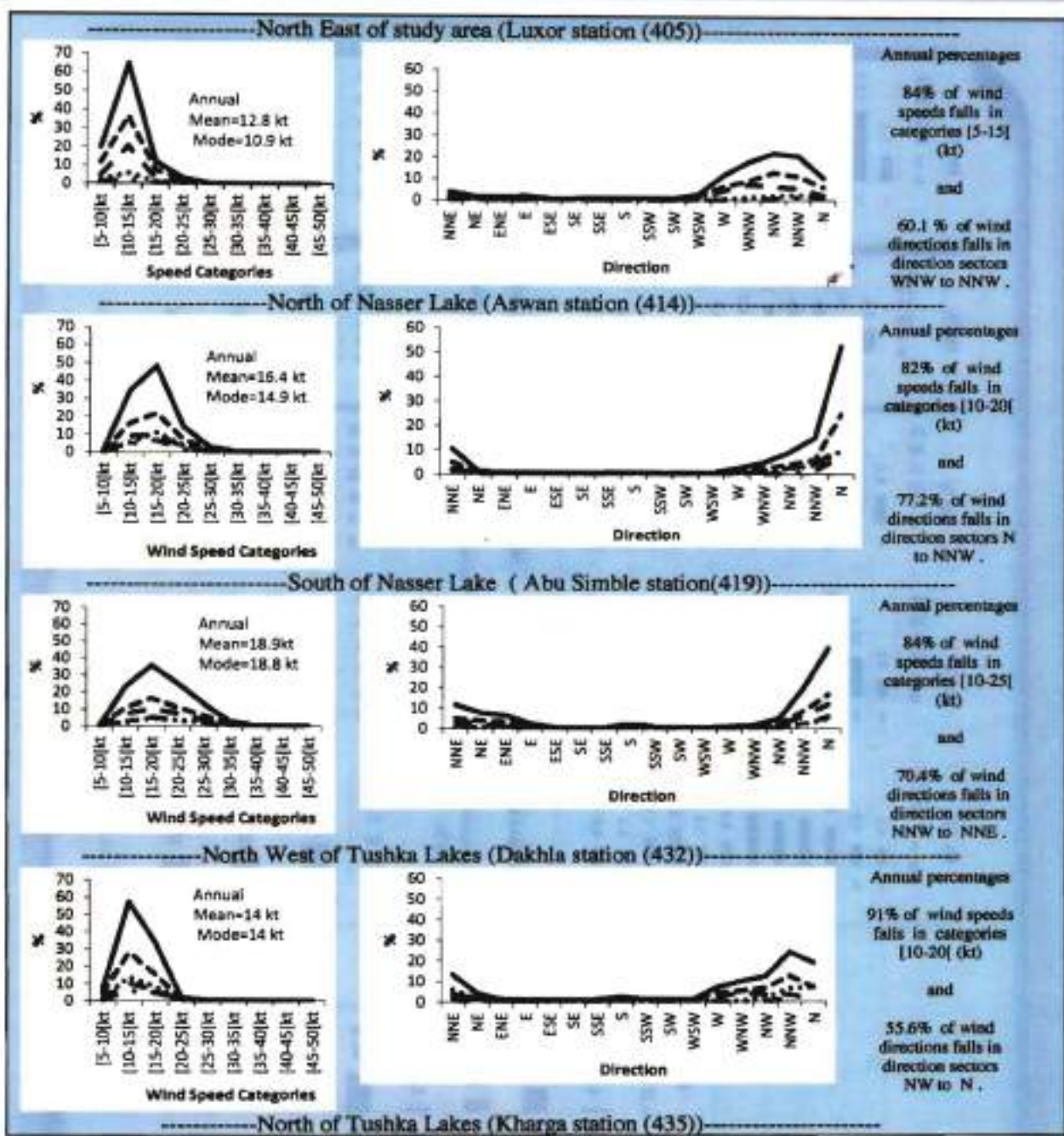


(2) : النسبة المئوية للتكرارات السنوية لبيانات الرياح الخامدة بالرمال.

شكل «٢» النسبة المئوية للتكرارات السنوية لبيانات الرياح الخامدة بالرمال.

مجموعات لسرعات الرياح وعدد (١٦) مجموعه لاتجاهات الرياح، والتفاصيل وردت كما بالشكل الآتي رقم (٣) وبالدراسة تم تصنیف الرياح الخامدة بالرمال لعدد (٩)

تحليل لتصنيف الرياح الخامدة للرمال، سرعه واتجاه



شكل (٣) : تخليل تصنيفات الرياح المحملة بالرمال من حيث السرعة بالعقدة والأحياء بالدرجة مقاسة من الشمال الجغرافي ومع عقارب الساعة.

الكتاب الرمليه تعتمد على تعين السرعة الحرجه للرياح ، وذلك لاستخدامها فى تعين حجم البيانات الواردة لنموذج الحسابات المستخدم، حيث يتم إلغاء جميع بيانات الرياح أقل من السرعة الحرجه على اعتبار أنها رياح ذات سرعات غير فاعله ، واستخدام المسئيات المساويه لها

١٦) تعیین السرعة الحرجیة للرياح الحاملة للرماد

جميع النماذج المستخدمة دولياً، بواسطة العلماء المتخصصين في دراسات تقييم سرعة وتشاطط حركة

ومن الخطيء الجسيم اعتبار السرعة الحرجة ثابتة طوال العام، لأن منطقه تحت الدراسة وهو ما تقره تلك المعادلات ١، ٢، ٣ المذكور أعلاه حيث تنتج قيمة وحيدة للسرعة الحرجة ثابتة طوال العام وهذا بكل تأكيد غير منطقي.

(٢) القيمة Z_0 ليس من السهل تعبيئها وعند التعبيين غالباً ما تكون قيمة تقديرية وغير دقيقة.

وبالدراسة الماثلة تم استخدام بيانات الرياح الحاملة للرمي Sandy Wind Velocity، بدلاً من Effective Wind Velocity وهي الرياح المناظرة ظاهري الرمال المثار والعواصف الرملية، وبذلك فجميع البيانات المستخدمة بالدراسة هي بالفعل حاملة للرمي وليس خاضعه للتخييم الذي يعتبر كل رياح تساوى او اعلى من السرعة الحرجة هي رياح حاملة Sandy Wind Velocity للرمي ومن مميزات استخدام Sandy Wind Velocity ان جميع العوامل الجوية والجيولوجية والجغرافية والجيومورفولوجية وجميعها مؤشرة بشكل أو باخر بحركة الرمال كل تلك العوامل تكون ماخوذة بالفعل في الاعتبار وذلك بشكل ضمني.

ويظهر الأفتراض الخاطيء بأن الرياح الأعلى من السرعة الحرجة أو من تساويها هي رياح حاملة للرمي من خلال الأحتمالات المنطقية الآتية:

فالرياح الأعلى من السرعة الحرجة ربما هطلت الأمطار قبل هبوبها، وعلى ذلك فتصبح غير محملة بالرمي والرياح.

فالرياح الأعلى من السرعة الحرجة ربما هبت من حيث أراضي صخرية أو مسطحات مائية، وعلى ذلك فتصبح غير محملة بالرمي.

فالرياح الأعلى من السرعة الحرجة ربما هبت على غير ملائمة ومساعدة من العوامل الجوية الأخرى المؤثرة على قدرة الرياح على حمل الرمال، وعلى ذلك فتصبح غير محملة بالرمي.

وبالدراسة الماثلة تم استنتاج السرعة الحرجة Z_0 مباشرة من خلال البيانات، وهي السرعة الأقل بالبيانات المستخدمة، وهي قيم شهرية متغيرة، أنظر شكل (٤)،

وما علنا منها، فـ سرعة الرياح على اعتبار أنها الرياح ذات السرعات الفاعله Effective Wind Velocity، وللدقه فإن البيانات المطلوبه للدراسة هي بيانات الرياح الساعيه أي أنها بيانات تسجل كل ساعه سرعة واتجاه ..

وقد أستخدم Freberger (١٩٧٩) ومن بعده معظم العلماء المتخصصين بالمجال منهم Pearce (٢٠٠٥) والذي قام ببعض التعديلات على النموذج الأصلي وأخرون، جميعاً، استخدمو المعادلات الآتية لاستنتاج السرعة الحرجه،

$$U_t = 0.75 \cdot V_{t,1} \cdot \log \frac{10^3}{Z_0} + V_{t,1}, \quad (1)$$

U_t (cm/sec): Transport threshold velocity at 10 m .
 $V_{t,1}$ (cm/sec): Impact threshold velocity; wind speed necessary to maintain saltation when it has begun.

$V_{t,1}$ (cm/sec): Fluid threshold velocity; wind speed necessary for sand to start saltating under the direct pressure of the wind.

Z_0 (cm): Roughness parameter or aerodynamic roughness length (cm).

كما أن المعادله الآتية تستخد لاستنتاج القيم Chepil (١٩٥٨) بواسطة $V_{t,1}$ and $V_{t,1}$

$$V_{t,1} = A \sqrt{g * \varepsilon * (\frac{\pi - P}{P})} \quad (2)$$

E :- Particle diameter (cm);

g :- Gravity constant (980 cm / sec²) ;

P :- Density of air (1.2×10^3 gm / cm³);

μ :- Particles density (for quartz 2.65 gm / cm³);

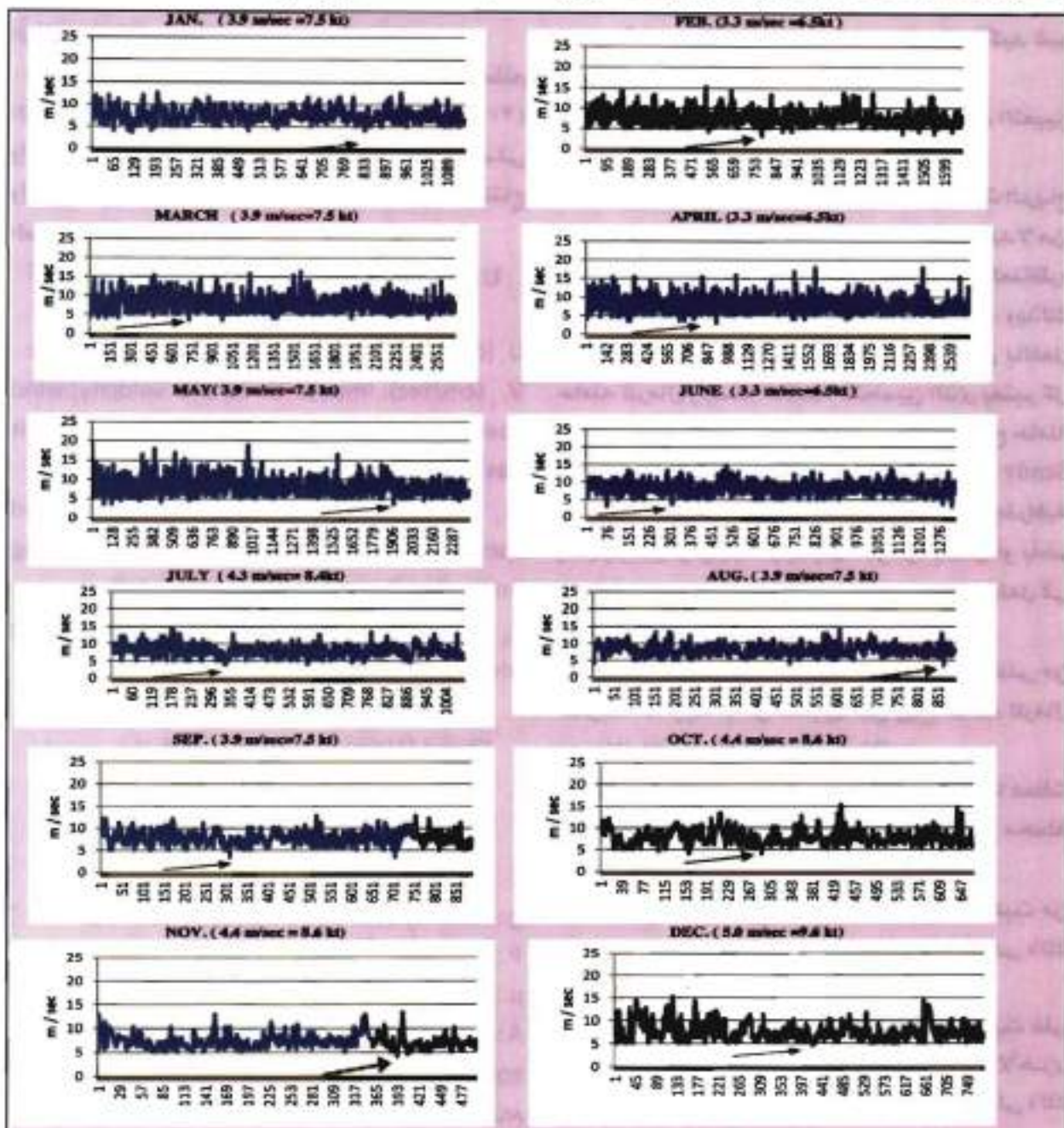
A :- equal to 0.1 for the fluid threshold velocity and equal to 0.085 for the impact threshold velocity.

ويشكل عام وبالدراسة الماثله لم نفضل استخدام هذه المعادلات للأسباب الآتية،

(١) السرعة الحرجه لا بد أن تكون متغيرة متاثرة بالعوامل الجوية مثل الحرارة والرطوبة والضغط وخلافه من المؤثرات الجوية المتغيرة بشكل دائم ، بل

المحمله بالرمال
Sandy Wind Velocity
٢٠١٢-١٩٨٣ (مباشرة.)

الجدول الآلى يوضح قيم السرعات الحرجه
U١ المستخرجه عملياً لجميع محطات الدراسه
بالطريقة الموضحة سابقاً من خلال بيانات الرياح



شكل (٤) : مثال توضيحي لأستنتاج عملي لقيم شهرية للسرعة الحرجه للرياح المحمله بالرمال، U١ المحطة
أسوان خلال فترة الدراسه (١٩٨٣ - ٢٠١٢) .

تعديلات أخرى خلال دراسات سابقة أجريت بواسطة Shapara .. (٢٠١٤) and النموذج المستخدم على الصورة الآتية،

$$q = [\bar{U}^2 (\bar{U} - U_t) / 100]$$

حيث أن q هي Weighting Factors للرماد المترددة، \bar{U} هي الرياح المتوسطة ضمن كل اتجاه ومجموعة سرعات رياح الماء هي الرياح الحرجية.

$$\begin{aligned} DP &= \left[\sum_{j=1}^9 q_{ij} X_{t(j)} \right]_{i=1}^{N_i} + \left[\sum_{j=1}^9 q_{ij} X_{t(j)} \right]_{i=N+1}^{N+N} + \dots + \left[\sum_{j=1}^9 q_{ij} X_{t(j)} \right]_{i=2N+1}^{2N+N} \\ \text{i.e. } DP &= \frac{NW}{N} \left[\sum_{j=1}^9 q_{ij} X_{t(j)} \right] \end{aligned}$$

Where; i : Wind Direction. & j : Wind Speed Class No.

حيث أن τ هي النسبة المئوية لكرار حدوث الرياح الحاملة للرماد.

توزيع السرعة الحرجية المتوسطة للرياح العاملة للرماد

تم رسم خرائط كونتوريه لتوزيع القيم المتوسطة للسرعات الحرجية الموسمية على منطقة الدراسة، انظر الشكل (٥)

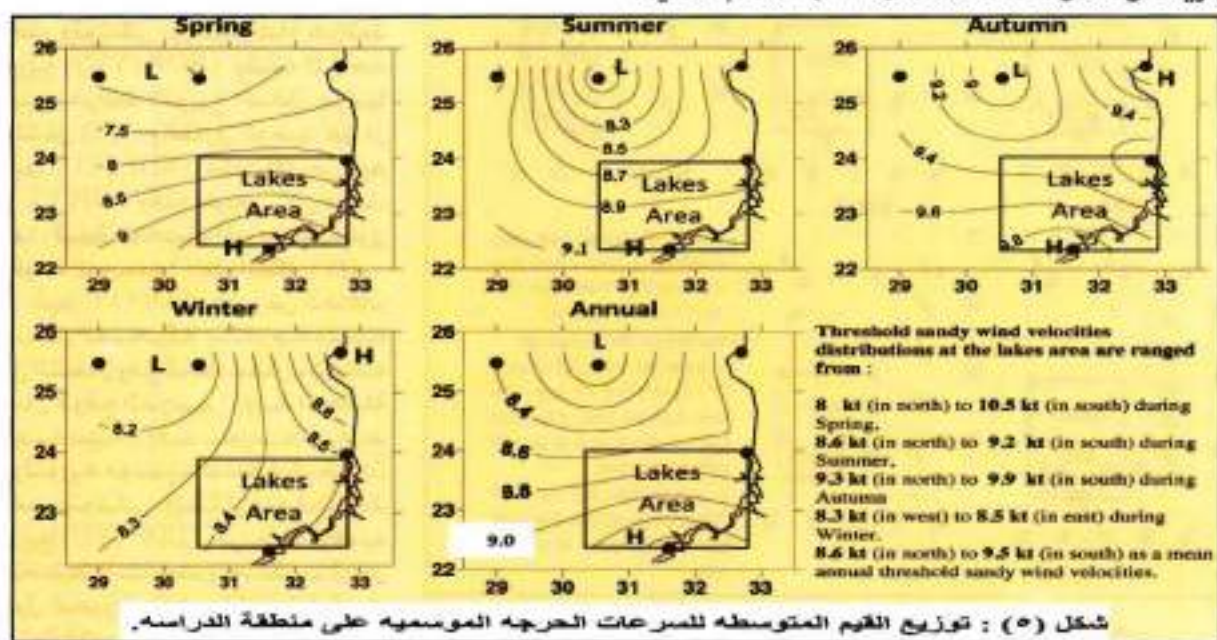
Month	Aswan (416)		Abu-Qaless (419)		Luxor (461)		Kharga (436)		Dakka (432)	
	Min	Max	Min	Max	Min	Max	Min	Max	Min	Max
1	7.5	12.9	8.1	13.4	8.8	13.3	5.9	10.7	5.7	10.6
2	8.5	13.6	7.1	13.8	8.8	13.9	5.9	10.6	5.7	10.6
3	7.5	13.7	8.1	13.1	7.9	13.6	5.9	12.3	5.7	12.4
4	8.5	13.4	9.1	13.7	7.9	13.9	4.1	10.9	5.7	13.7
5	7.5	12.3	10.1	13.9	4.8	14.6	5.9	11.1	6.6	13.6
6	8.5	13.5	7.1	13.2	9.9	13.0	5.9	12.3	7.6	12.9
7	8.4	13.9	10.1	13.6	9.9	13.0	7.3	13.6	7.6	13.5
8	7.5	13.1	8.1	13.3	8.9	13.6	5.9	10.8	10.5	14.0
9	7.5	13.2	7.5	12.2	8.9	13.5	5.9	10.7	7.6	13.4
10	8.6	13.8	10.1	13.8	9.9	13.1	7.8	13.9	9.4	13.5
11	8.6	13.8	8.1	13.4	9.9	13.8	9.7	13.8	9.8	13.5
12	9.6	13.3	8.1	13.5	9.9	13.2	9.7	13.9	9.5	13.1
Mean	12	-	12	-	13	-	6.7	-	12	-

ولكن يلاحظ ضعف تكرارات هذه القيم خلال فترة الدراسة فيما عدا بعض شهور السنة على محطة الأقصر، وذلك بسبب أن قيمة MODE للبيانات قريبة جداً من قيم Frequency لتلك الشهور، ولمعالجة ذلك هدم استنتاج قيم ذات تكرارات أعلى من خلال المعادله الآتية والتي تربط بين القيمة الأقل تكراراً U_{11} والقيمة الأكثر تكراراً وهي قيمة MODE ،

$$U_0 = ((Mode + U_{11})/2) + U_{11}/2 = 1/4 (Mode + 3U_{11}) \quad (*)$$

النموذج المستخدم للدراسة والتعديلات عليه.

تمت الحسابات اعتماداً على نموذج Fryberger (١٩٧٩) والأخذ في الاعتبار لكل التعديلات التي أجريت من خلال (Pearce et. al ٢٠٠٥)، كما تم تحديد

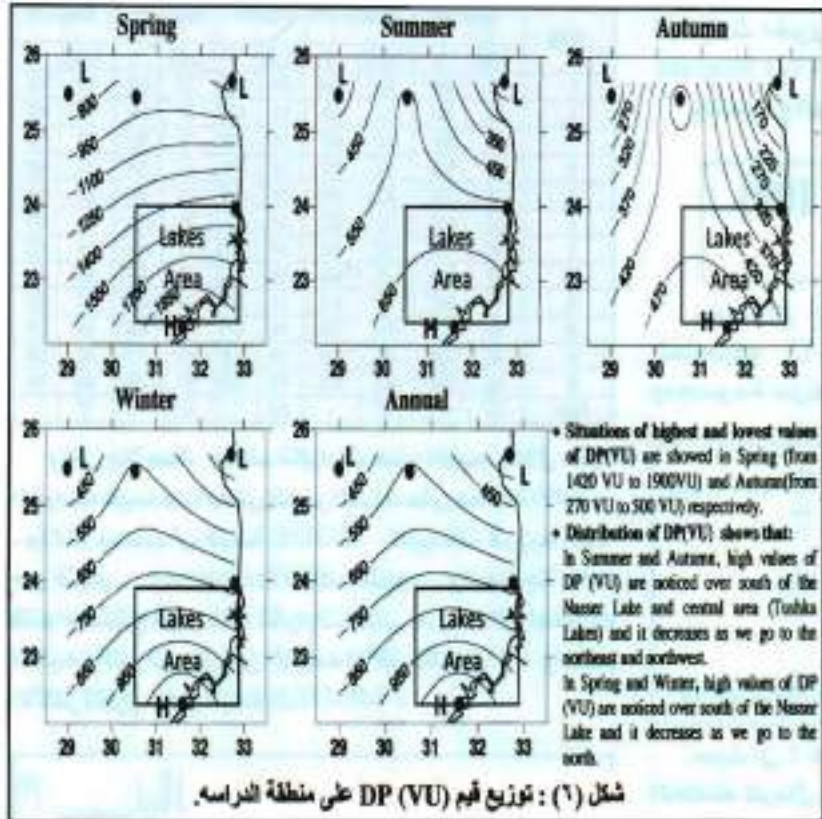


النتائج وتقدير حركة ونشاط الكثبان

الرمليه بمنطقة الدراسة

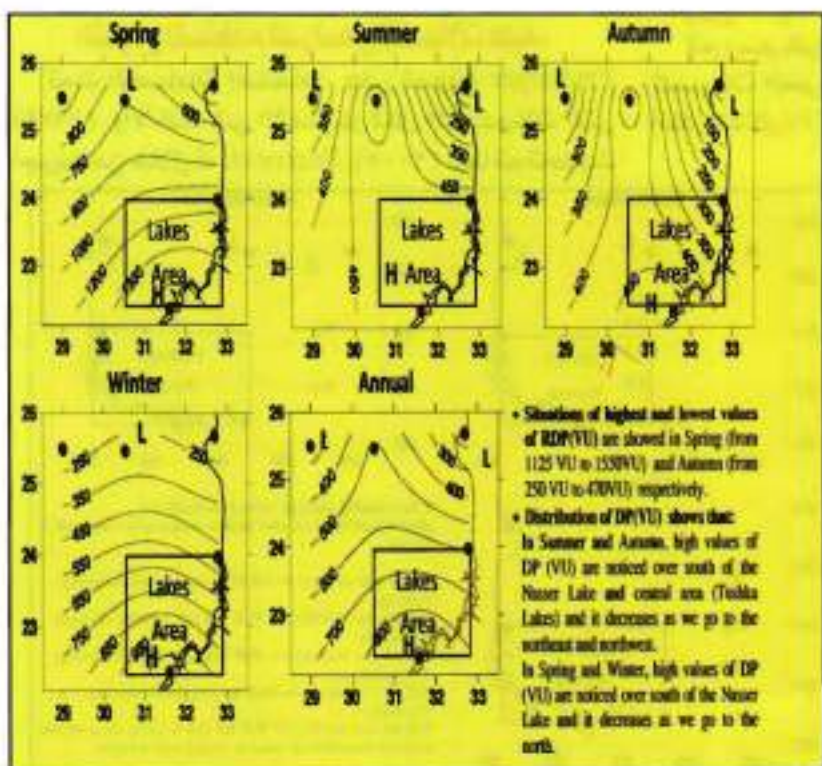
قيم (VU) تعبر بكل سلطه عن كميات الرمال المتحركه، مجموعه، من جميع الاتجاهات حول موقع الدراسة، وقد تم رسم بالوحدات المتججه، وقد تم رسم خرائط كونتوريه موسميه لمنطقة البحيرات ناصر وتوشكى، وبشكل عام يتضح ان جنوب بحيرة ناصر هي الأكثر خطوره طوال العام خاصة بفضل الربيع المتميز باعلى كميات رمال متحركه على الأطلاق التي تتراوح ما بين 1900VU جنوبا، الى 1420VU شمالا، وبالتدريج تقل مستويات الرمال المتحركه بفضل الشتاء ثم الصيف ثم الخريف على الترتيب وأيضا وتقل كميات الرمال المتحركه كلما اتجهنا شمالا، بجميع فصول السنة باستثناء المنطقه المتوسطه بمنطقة الدراسة خلال فصل الخريف والصيف، انظر الشكل (٦).

شكل (٦): توزيع قيم (VU) على منطقة الدراسة.



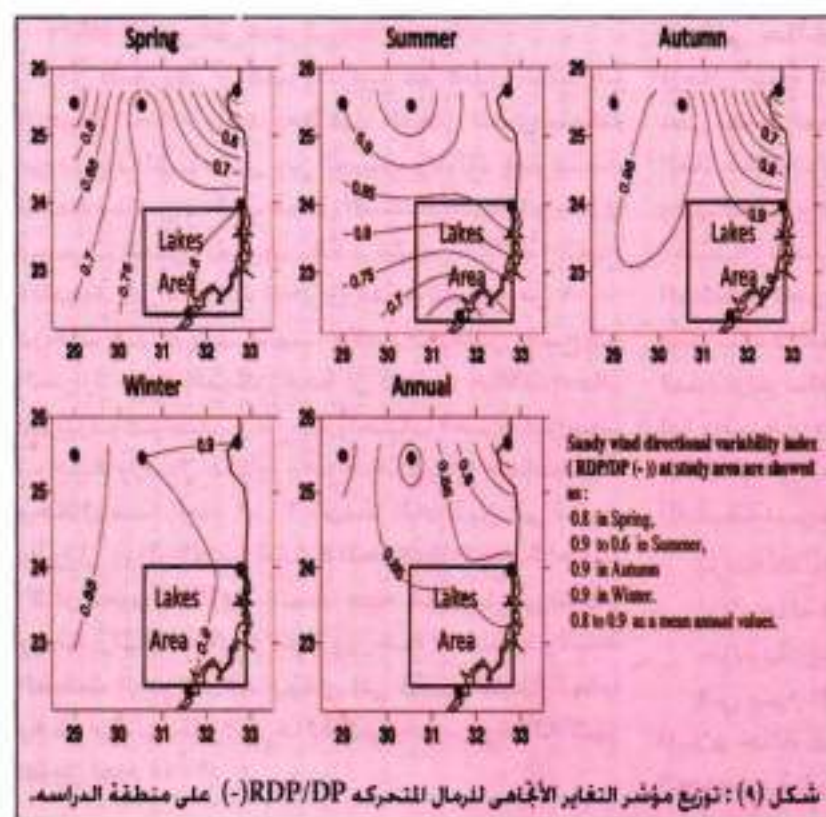
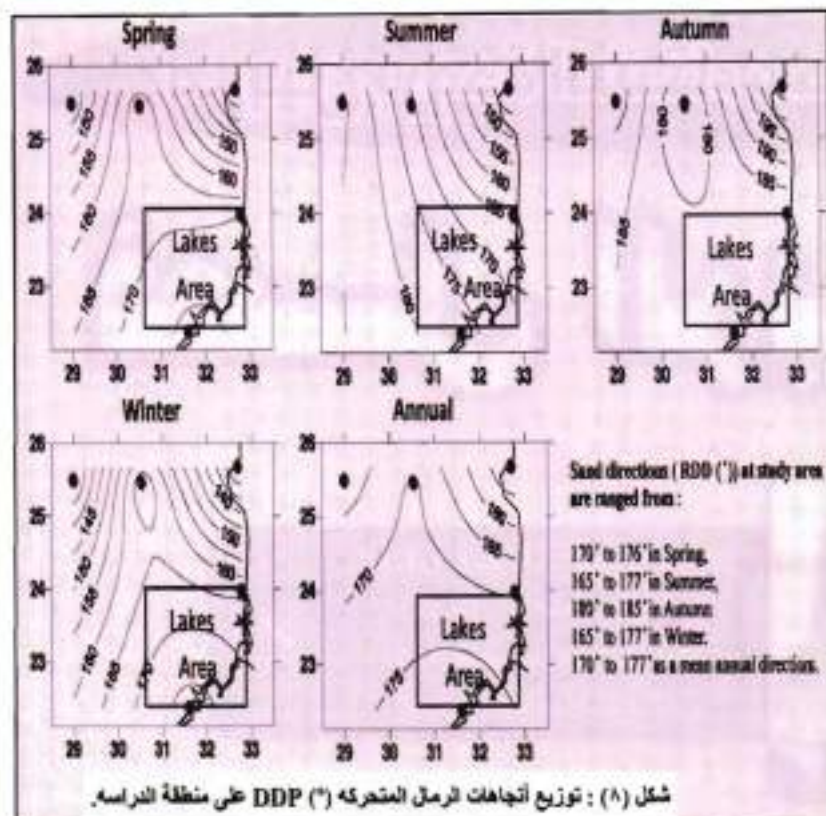
قيم (RDP) VU تعبر عن كميات الرمال المتحركه، قيمة المحصلة هندسيا، من جميع الاتجاهات حول موقع الدراسة، وقد تم رسم خرائط المتججه، وقد تم رسم خرائط كونتوريه موسميه لمنطقة البحيرات ناصر وتوشكى، وبشكل عام خرائط توزيع (RDP (VU)) يشابه الى حد كبير خرائط التوزيع السابق عرضها بالشكل (٦)، والفارق الوحيد هو ان (RDP (VU)) تكون أقل من قيم (DP(VU)) وهذا طبيعي لأن دانماً أبداً، قيمة المحصلة أقل من او يساوى القيمة المجمعة (انظر الشكل (٧)).

قيم (DDP) VU تعبر عن اتجاهات الرمال المتحركه بالدرجه مقاسه من الشمال ومع اتجاه عقارب الساعة حول موقع الدراسة (زاوية المحصلة الهندسية)، وقد تم رسم خرائط كونتوريه موسميه لمنطقة البحيرات ناصر وتوشكى، وبشكل عام فخرائط توزيع (DDP (VU)) في غاية الأهميه للتخطيط لانشاء مشروعات تنفيذ الرمال حول البحيرات وانهاء مشكلة اثاره الرمال بمنطقة الدراسة (انظر الشكل (٨)).



شكل (٧): توزيع قيم (VU) (RDP) على منطقة الدراسة.

وأخيراً تعين قيم مؤشر التغيرات الأتجاهي للرمال المتحركة (RDP/DP) ويعبر عن مدى خطورة الوضع الراهن بمنطقة الدراسة وأيضاً لتعيين الأوقات الصحيحة لاتخاذ إجراءات الوقاية والتثبيت، فكلما اقترب المؤشر إلى قيمة الواحد الصحيح فيدل ذلك على الخطورة الأعلى على المكان المتوجه إليه الرمال النازلة حيث أنها ممكزة جميعاً إلى التجاد وحيد ومتوجهة إلى الهدف وغير مشتبه تعدد اتجاهات، وكلما أتجهه قيمة المؤشر إلى قيمة الصفر فمعنى ذلك أن الرمال مشتبه إلى عدة اتجاهات ومركز الخطورة غالباً، هي أماكن تواجدها والأماكن القريبة منها، وقد تم رسم خارطة كوتوريه موسمية لمنطقة البحيرات ناصر وتوشكى، «انظر الشكل (٩)».



المراجع

- Fryberger, S.G. and Dean, G., 1979:** Dune forms and wind regime. In McKee, E. D. ed. A study of global sand seas. United States Geological Survey, Professional Paper 1052, Washington, (66): 137 - 169.
- Pearce, K.I. and Walker, I. J., 2005:** Frequency and Magnitude Biases in the «Fryberger» Model, with Implications for Characterizing Geomorphically Effective Winds. *Geomorphology*, (68): 39 - 55.
- Shapara, S., 2010:** Studies on meteorological condition leading to sand dunes migration in Egypt. Ph. Thesis, Astronomy and Meteorology Department, Faculty of Science, Cairo University.
- Shapara, S., 2014:** Suggestion of simulated Fryberger model for the actual events of the moved sand meteorological phenomena (Dakhla oasis as a case study). *International Meteorological Researches Bulletin*, volume 27, December 2014.